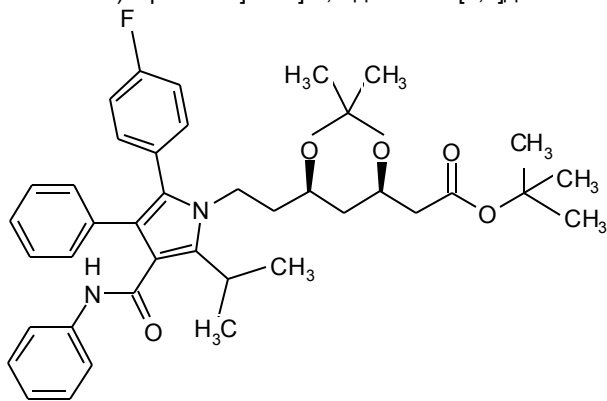


1. Кристалічна форма I трет-бутилового ефіру (4R-цис)-6-[2-[3-феніл-4-фенілкарбамоїл-2-(4-фторфеніл)-5-(1-метилетил)-пірол-1-іл]етил]-2,2-диметил-[1,3]діоксан-4-ілоцтової кислоти формули



, (I)

яка характеризується тим, що має порошкову рентгенограму, представлену в Таблиці 1 і на Фіг. 1, отриману за допомогою Cu_α -випромінювання:

Таблиця 1

Положення дифракційних смуг і відносна інтенсивність (>10% поліморфної форми I)

№ піка	2 θ [град]	d(hkl) [Å]	I (абс.) [cts]	I (віднос.) [%]
1	9.85	8.9800	6701	100.00
2	11.20	7.8983	996	14.86
3	13.14	6.7401	771	11.51
4	15.89	5.5793	1043	15.56
5	17.76	4.9940	2565	38.28
6	18.29	4.8508	2710	40.44
7	18.69	4.7483	2152	32.11
8	19.17	4.6300	3325	49.62
9	19.66	4.5155	983	14.67
10	20.24	4.3865	10064	15.88
11	21.10	4.2107	671	10.01
12	21.49	4.1351	1362	20.33
13	22.05	4.0310	889	13.27
14	22.90	3.8836	863	12.88
15	26.41	3.3749	681	10.16
16	26.95	3.3080	597	8.91
17	27.89	3.1995	612	9.13

2. Кристалічна форма II трет-бутилового ефіру (4R-цис)-6-[2-[3-феніл-4-фенілкарбамоїл-2-(4-фторфеніл)-5-(1-метилетил)-пірол-1-іл]етил]-2,2-диметил-[1,3]діоксан-4-ілоцтової кислоти, що характеризується тим, що має порошкову рентгенограму, представлену в Таблиці 2 і на Фіг. 2, отриману за допомогою Cu_α -випромінювання:

Таблиця 2

Положення дифракційних смуг і відносна інтенсивність (>10% поліморфної форми II)

№ піка	2 θ [град]	d(hkl) [Å]	I (абс.) [cts]	I (віднос.) [%]
1	6.45	13.7061	463	18.54
2	6.94	12.7356	1639	65.64
3	11.43	7.7393	1331	53.30
4	12.21	7.2491	1039	41.61
5	12.53	7.0652	866	34.68
6	13.17	6.7223	1247	49.94
7	14.29	6.1983	2497	100.00
8	15.05	5.8866	998	39.97
9	16.45	5.3873	625	25.03
10	17.50	5.0665	1837	73.57
11	17.85	4.9690	2325	93.11
12	18.65	4.7584	1685	67.48

13	19.03	4.6626	1105	44.25
14	19.97	4.4468	1367	54.75
15	20.16	4.4055	1457	58.35
16	20.90	4.2495	946	37.89
17	21.36	4.1606	1616	64.72
18	21.99	4.0426	1169	46.82
19	22.24	3.9972	1486	59.51
20	22.74	3.9111	1471	58.91
21	23.80	3.7391	279	11.17
22	24.37	3.6526	422	16.90
23	24.69	3.6060	323	12.94
24	25.35	3.5141	628	25.15
25	25.71	3.4648	635	25.43
26	26.41	3.3750	332	13.30
27	27.73	3.2172	483	19.34
28	28.05	3.1812	395	15.82
29	28.64	3.1173	449	17.98
30	29.33	3.0452	409	16.38
31	29.77	3.0010	400	16.02
32	30.48	2.9330	249	9.97